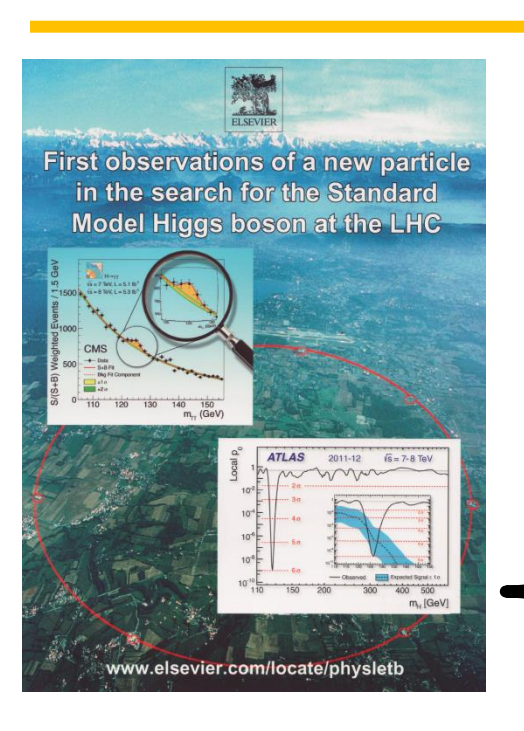


LHCおよびHL-LHC実験で予想される 湯川結合、自己結合の測定精度

中村浩二 (高工ネ研)



発見から測定の時代へ



「ヒッグス粒子探索における新粒子の発見」

Higgs-like particle ??

4.8 fb⁻¹ @7TeV + 5.8 fb⁻¹ @8TeV



- 質量の測定 125.5±0.2(stat)±0.6(sys) GeV
- スピンの測定 プ=0-,2+を棄却
- ・ 結合定数の測定 大事!

結合定数を測定することで、「標準理論ヒッグス粒子か?」に答える

ただし、どこまで測れば、

- 1) ヒッグス粒子と呼べるか?
- 2) 標準理論と言って問題ないか?
- 3) 満足か?

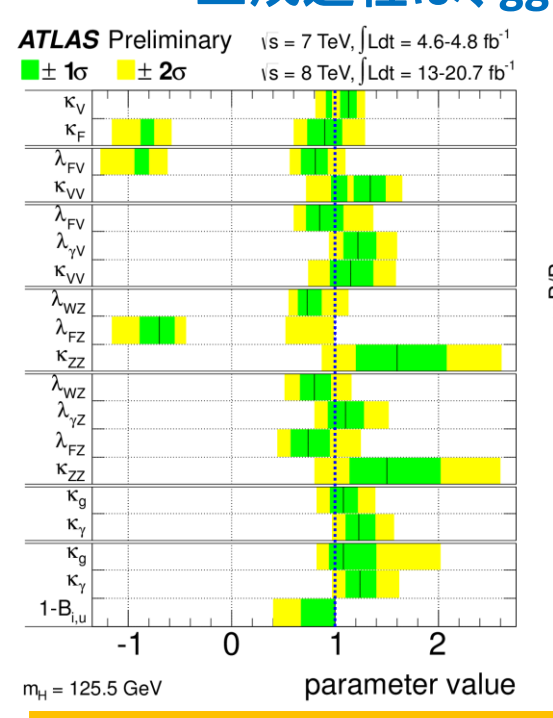
は(少なくとも私には)不明→今回はどこまで測れるか?だけお見せします。

いままでにわかったこと

今までの粒子と違って膨大な結合定数を導入する必要がある。

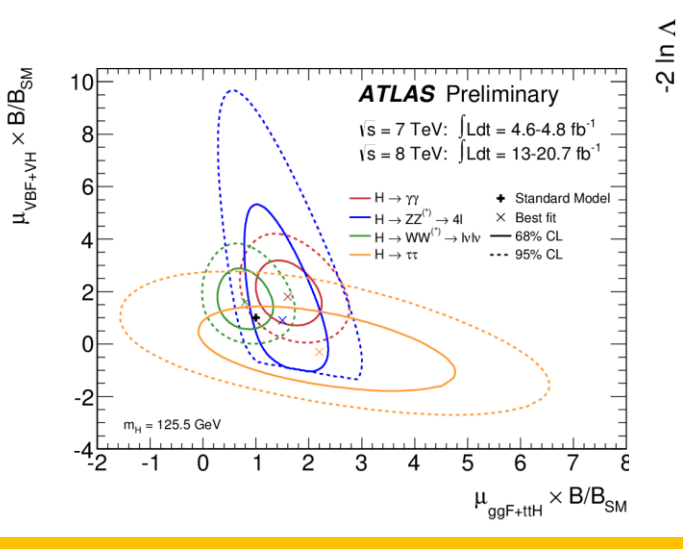
→ データの解釈が非常に複雑。

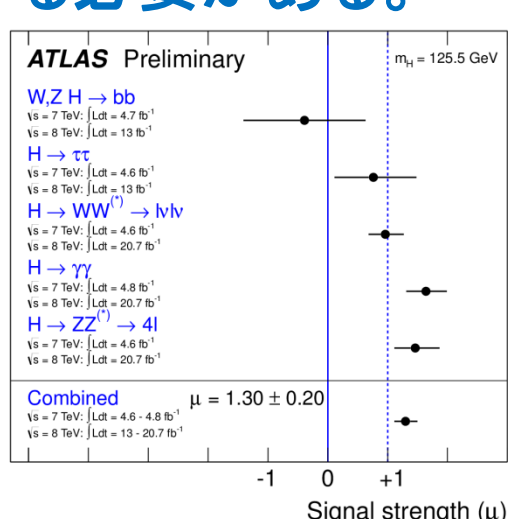
生成断面積 x 崩壊分岐比は標準理論と無矛盾 HWW, HZZ, H gg, H γγ は存在(>3σ) フェルミオホビック や ボソフェリックではない 生成過程は、ggH, VBF H とも存在(~3σ)



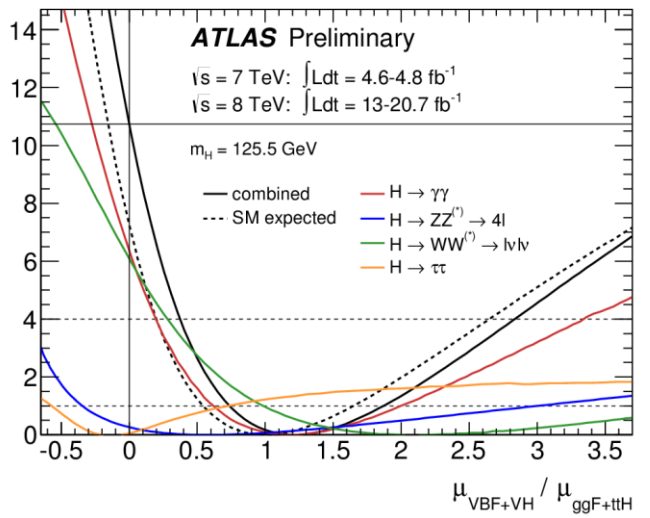


重くてよかったなぁ...





Signal strength (µ)

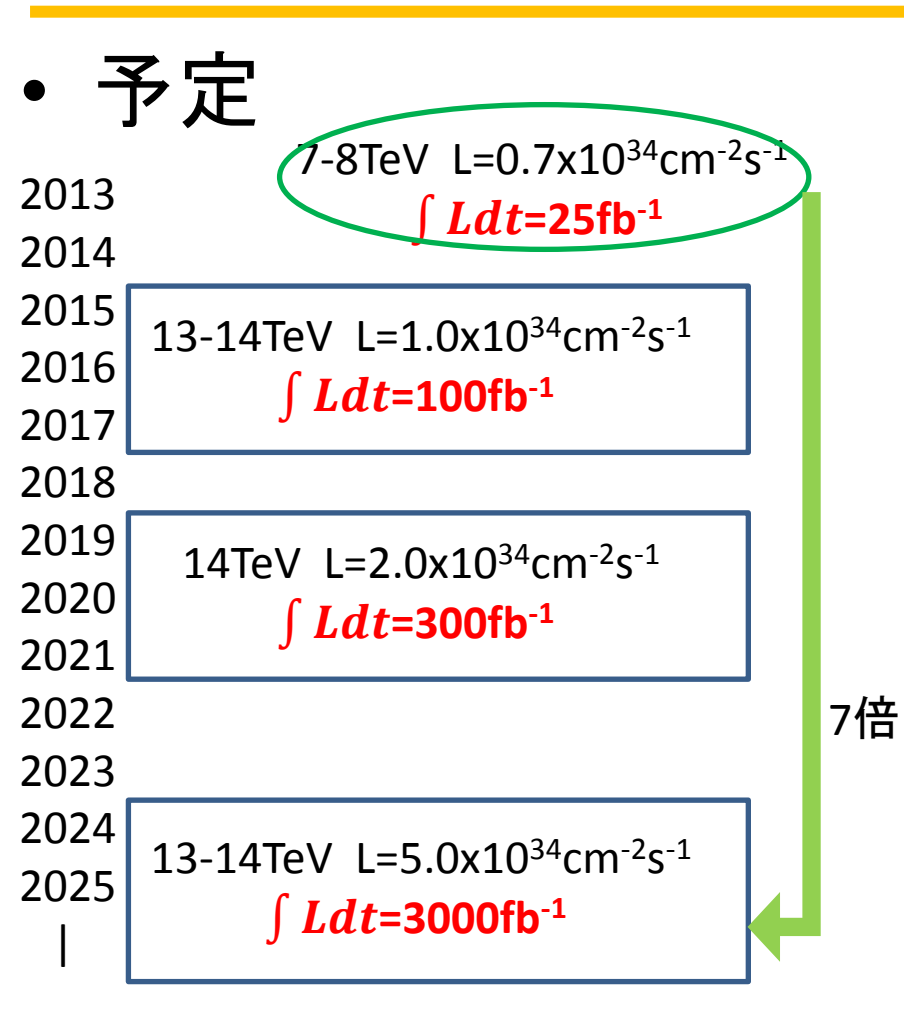


まだわかってないこと

- 一言でいうと「湯川結合」
 - レプトンとの結合。
 - H→ττ (Y_τ)で発見、H→μμ(Y_μ)で再確認。結合比の測定。
 - クォークとの結合(特にUp type/down type)
 - ・存在は間接的に確認。(H○ggは本当にtop が支配的なのか?)
 - ・ H→bb(Y_b)で直接観測。
 - Y_tの測定 (ttH 過程)

14TeVのLHCでこれらがどのくらいの精度で決まるのか をお話しします。

14TeVに増強したLHC I



8TeV および 14TeVの生成断面積

[pb]	8TeV	14TeV	
W/Z*1	36/3 x10 ³	61/6 x10 ³	x1.8
Ttbar*1	129	452	x3.5
ggH	20	50	x2.5
WH/ZH	0.7/0.4	1.5/0.9	x2.1
ttH	0.13	0.6	x4.7

*1: at least one lepton

- 良い点
 - 生成断面積が大
 - S/Bが改善
- ・ 大変な点
 - Trigger (e.g. lepton trigger 12倍)
 - L1の改善や物理トリガー
 - Pileup: 150-250 衝突/event
 - Trackerの性能 (放射線耐性)

14TeVに増強したLHC II

<Trigger>: 数字はthreshold [GeV]

		е	μ	2e	2μ	еμ	τ	τμ	jet
2x10 ³⁴	Level 1	EM28H	MU20	2EM15	2MU11	EM15 MU10	TAU60	TAU15 MU10	J100
	Offline	33	25	2x20	2x13	20,12	150	40,15	250
3x10 ³⁴	Level 1	EM50H	MU20 (eta<1.9)	2EM20	2MU11	EM20 MU10	TAU80	TAU15 MU15	J100
	Offline	60	25	2x25	2x13	25,12	180	40,20	250

- 3x10³⁴でelectron triggerは解析時に60GeVの閾値
 - ちなみにHL-LHCは5x1034の予定。→W/Zの事象もとれない!
- 基本的にL1の問題
 - → L1 caloの改良
 - → コンバインドトリガー & L1 topological trigger (e.g. Δη, ΔR cut)
- FTK & 物理トリガー
 - →e.g. b, τの閾値を下げる、VBF 生成過程に特化したトリガー

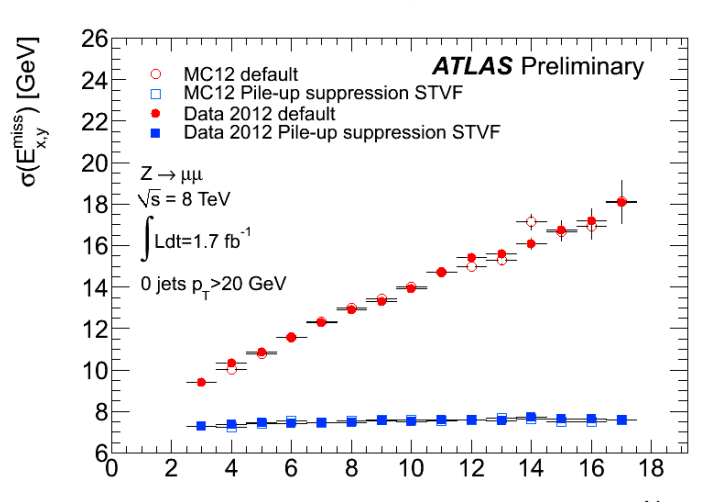
14TeVに増強したLHC III

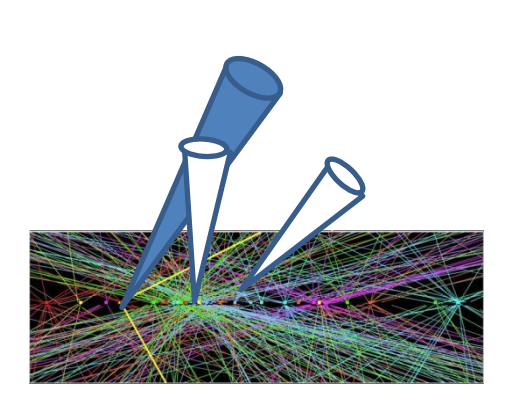
<Pileup>

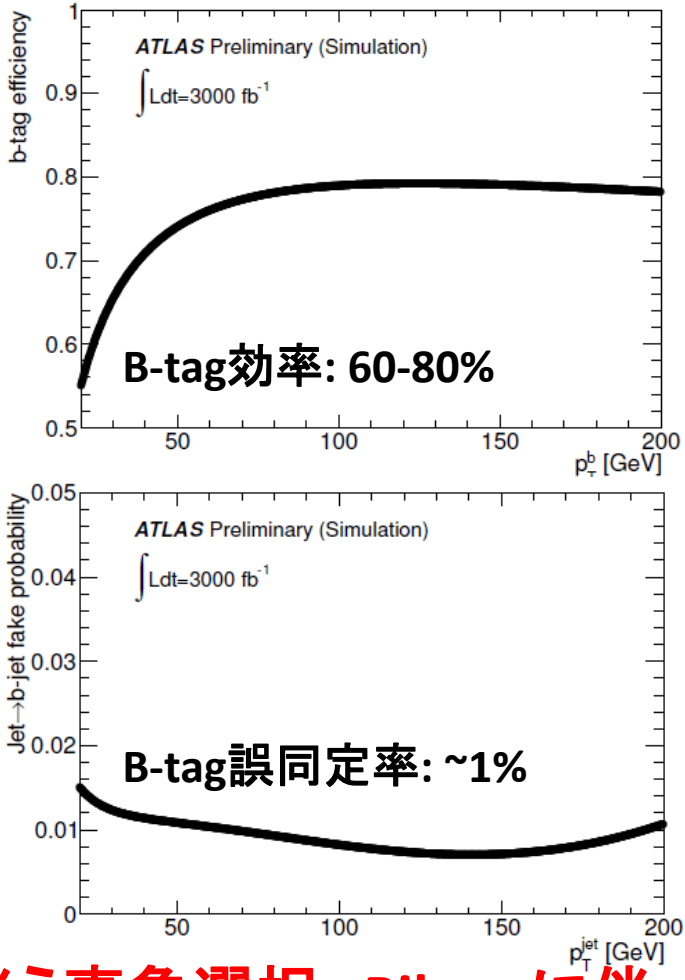
- たとえば、

140衝突/事象で、b-tag の誤同定率は現在 (0-40衝突/事象)と比べて1.25倍悪くなる。

- 逆に言えば、動く(放射線耐性の高い)シ リコン検出器を作ることが大事
- METの分解能もtrackingで補正できる!







→ これからお見せする結果は、triggerに伴う事象選択、Pileupに伴 う性能の低下を考慮

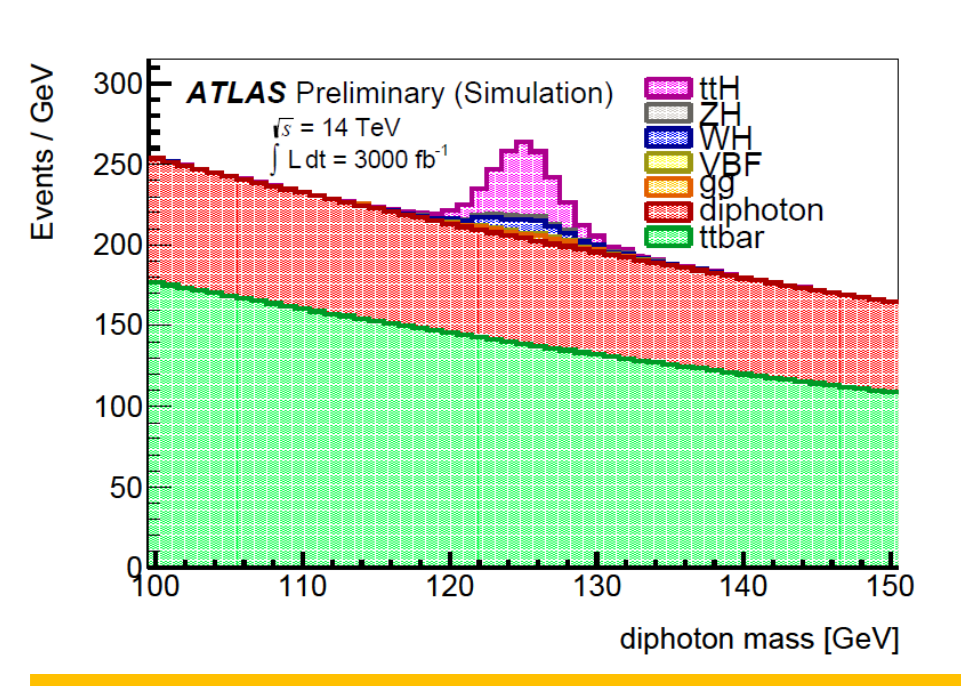
結合定数の測定

- さまざまな生成崩壊過程で結合定数の測定を行う。
- 300fb⁻¹~3000fb⁻¹までの感度を推測
- ○が現在解析を行ったもの(他ができないというわけではないので注意!)
- (○)はデータ解析の実績がないもの
- ×は現在解析されているが、予測感度を出していないもの。

	ggF	VBF H	WH	ZH	ttH
н→γγ	0	0	(O)	(O)	(O)
H → ZZ*	0	×			
H → WW*	0	0	0		
H → ττ	Δ	0			
Н→μμ	0				(O)
H→bb			×	× ←	B-tag

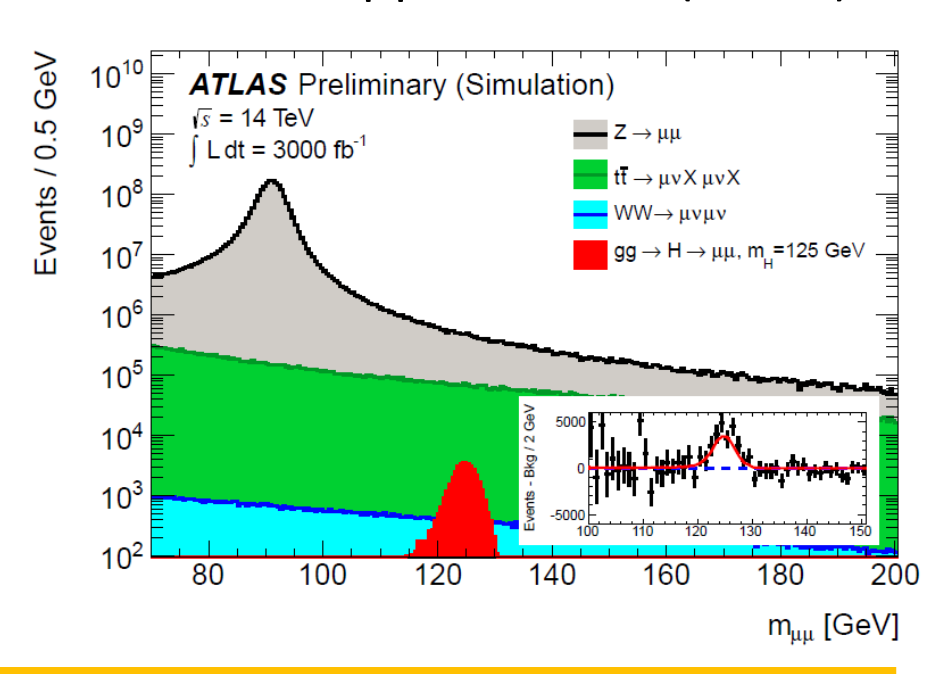
結合定数の観測:YtとYu

- ttH, H->γγ
 - ttH,H->bb と並んでYt測定に重要
 - 2つの光子と1か2レプトンと複数ジェットを要求。
 - 3000fb-1におけるS/√Bは約
 6σ!



• H->μμ

- レプトンとの結合を調べるのに 有効な過程の一つ
- 崩壊分岐比: 2.2x10⁻
- 3000fb-1における感度は6σ以 上
- ttH, H->μμ は30事象(S/B<1)



300fb⁻¹-3000fb⁻¹での予想感度

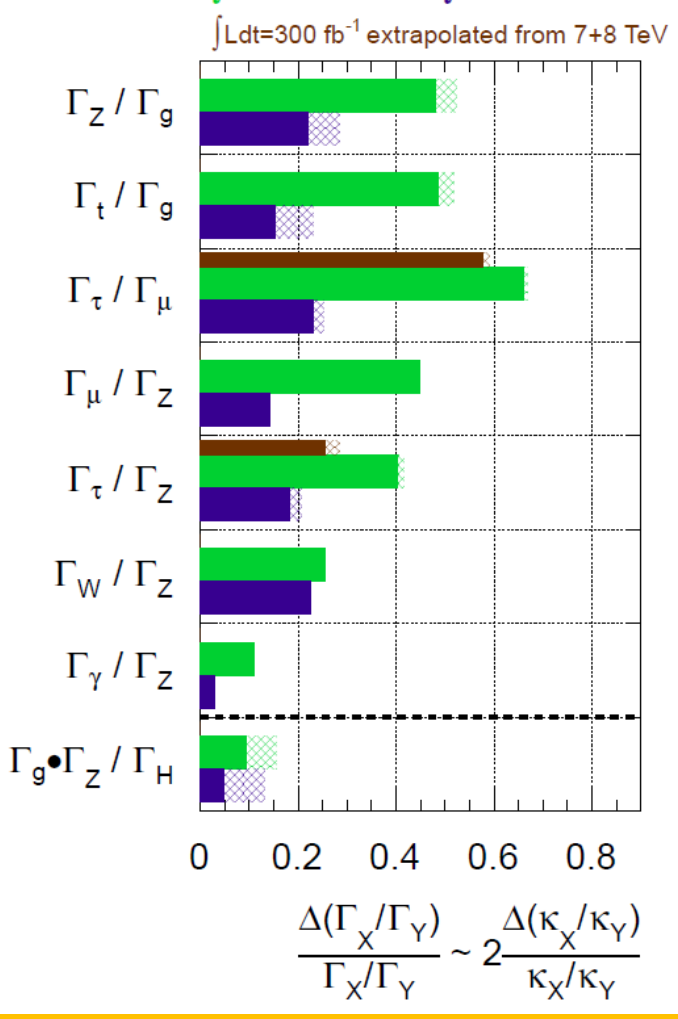
ATLAS Preliminary (Simulation)

\sqrt{s} = 14 TeV: $\int Ldt = 300 \text{ fb}^{-1}$; $\int Ldt = 3000 \text{ fb}^{-1}$ \sqrt{s} = 14 TeV: $\int Ldt = 300 \text{ fb}^{-1}$; $\int Ldt = 3000 \text{ fb}^{-1}$

Ldt=300 fb⁻¹ extrapolated from 7+8 TeV $H\rightarrow \mu\mu$ $ttH,H\rightarrow \mu\mu$ $VBF,H\rightarrow \tau\tau$ $H \rightarrow ZZ$ VBF,H→ WW $H\rightarrow WW$ $VH,H\rightarrow\gamma\gamma$ $ttH,H\rightarrow\gamma\gamma$ $VBF,H\rightarrow\gamma\gamma$ $H \rightarrow \gamma \gamma (+j)$ $H \rightarrow \gamma \gamma$ 0.2 0.4 0.6 0.8

ATLAS Preliminary (Simulation)

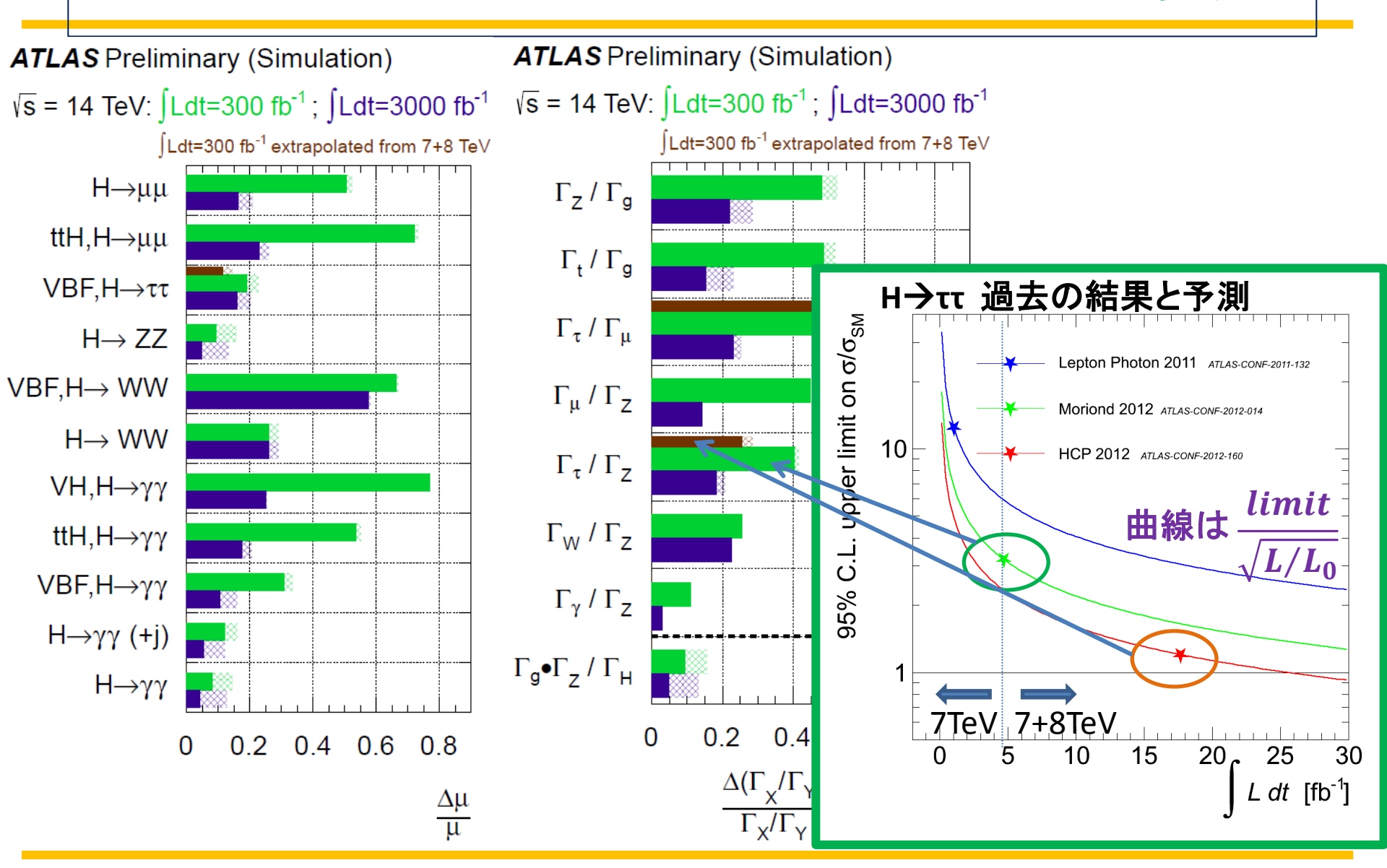
$$\sqrt{s}$$
 = 14 TeV: $\int Ldt = 300 \text{ fb}^{-1}$; $\int Ldt = 3000 \text{ fb}^{-1}$



10

研究会@名古屋 24th May, 2013

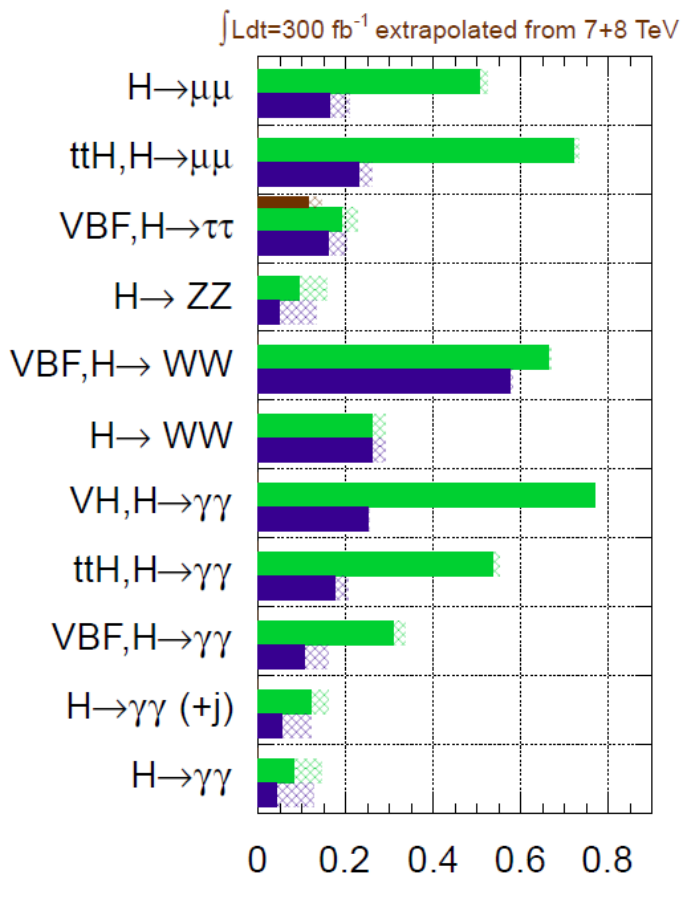
300fb⁻¹-3000fb⁻¹での予想感度



300fb⁻¹-3000fb⁻¹での予想感度

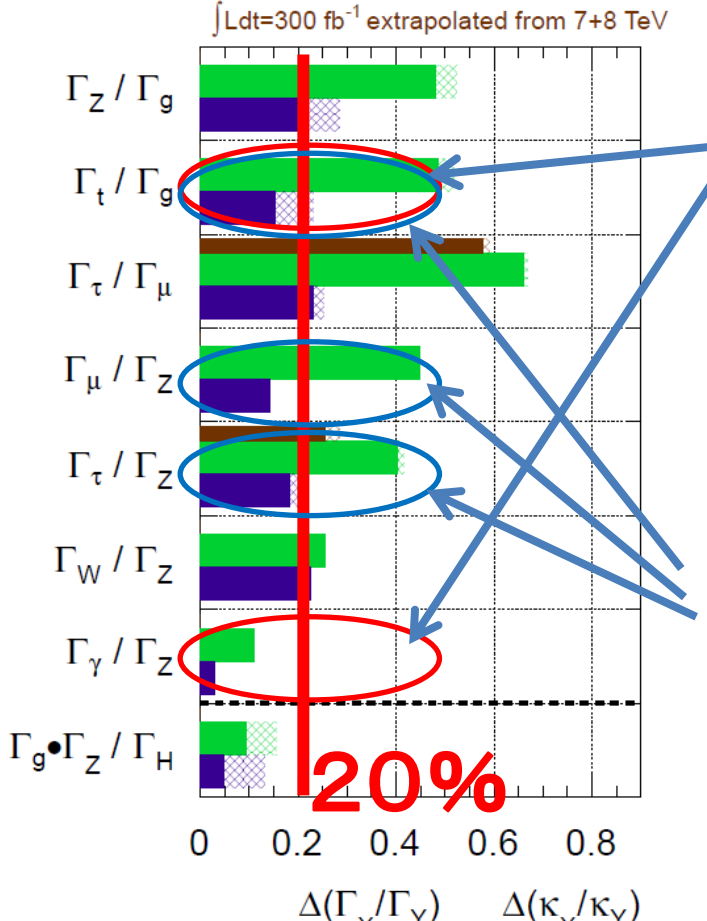
ATLAS Preliminary (Simulation)

 \sqrt{s} = 14 TeV: $\int Ldt = 300 \text{ fb}^{-1}$; $\int Ldt = 3000 \text{ fb}^{-1}$



ATLAS Preliminary (Simulation)

 \sqrt{s} = 14 TeV: $\int Ldt = 300 \text{ fb}^{-1}$; $\int Ldt = 3000 \text{ fb}^{-1}$



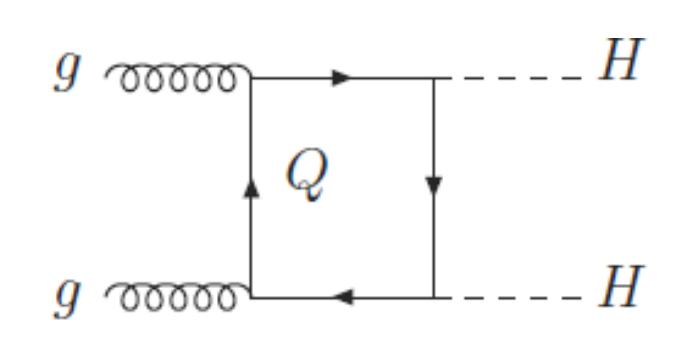
新物理に感度

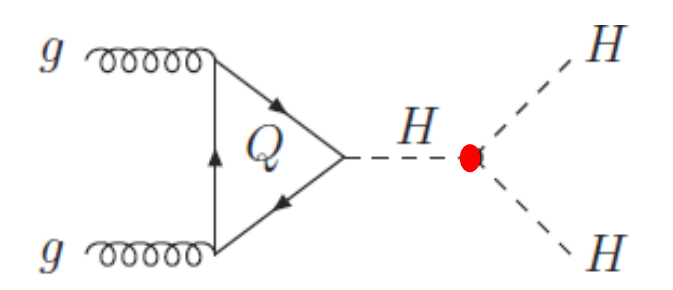
湯川の測定精度 (@3000fb⁻¹)

- Yt~15%
- Υμ~10%
- Yτ~10%

 $\frac{\Delta(\Gamma_{X}/\Gamma_{Y})}{\Gamma_{X}/\Gamma_{Y}} \sim 2 \frac{\Delta(\kappa_{X}/\kappa_{Y})}{\kappa_{X}/\kappa_{Y}}$

ヒッグス対生成と自己結合





- ヒッグス粒子は通常単一生成するが、 対生成することもある。
- さらに時々HHH結合をもつ生成もある(ヒッグスの大事な特性の一つ)
- 14TeVでのヒッグス対生成の断面積 は34fb⁻¹(+α)と非常に小さい。
 - 3000fb⁻¹で10万事象
- ・ 角度分布で区別して、HHH結合の有無を議論することはLHCではかなり 難しい。

\sqrt{s} [TeV]	$\sigma_{aa \to HH}^{\rm NLO}$ [fb]	$\sigma^{\mathrm{NLO}}_{qq' \to HHqq'}$ [fb]	$\sigma^{\mathrm{NNLO}}_{qar{q}' o WHH}$ [fb]	$\sigma^{\mathrm{NNLO}}_{q\bar{q} \to ZHH}$ [fb]	$\sigma^{\mathrm{LO}}_{qar{q}/gg o tar{t}HH}$ [fb]
14	33.89	2.01	0.57	0.42	1.09
33	207.29	12.05	1.99	1.68	8.37
100	1417.83	79.55	8.00	8.27	82.69

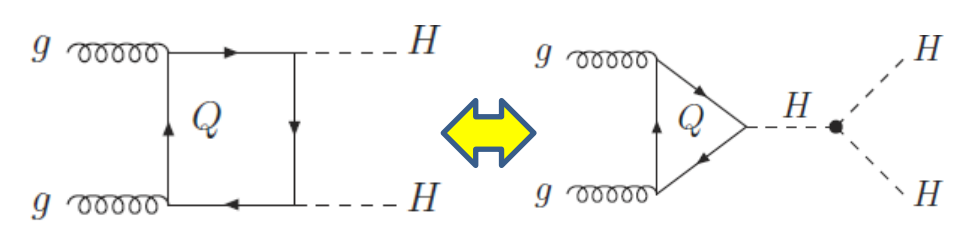
自己結合の存在の確認のために

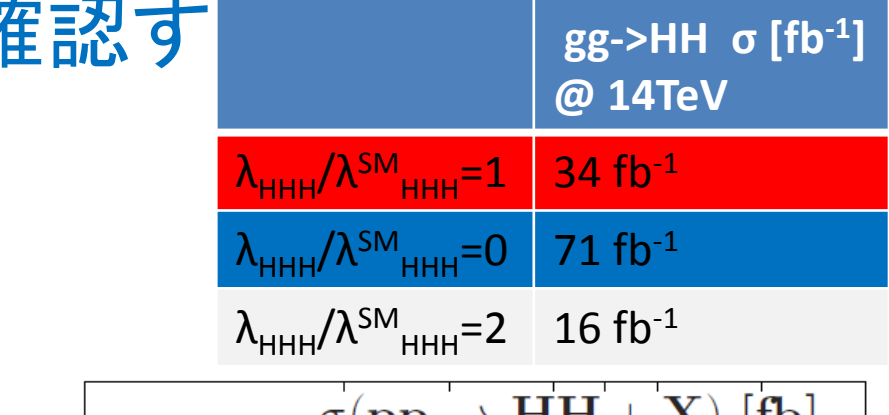
Q. LHCでHHH結合の存在を確認する方法はないのか?

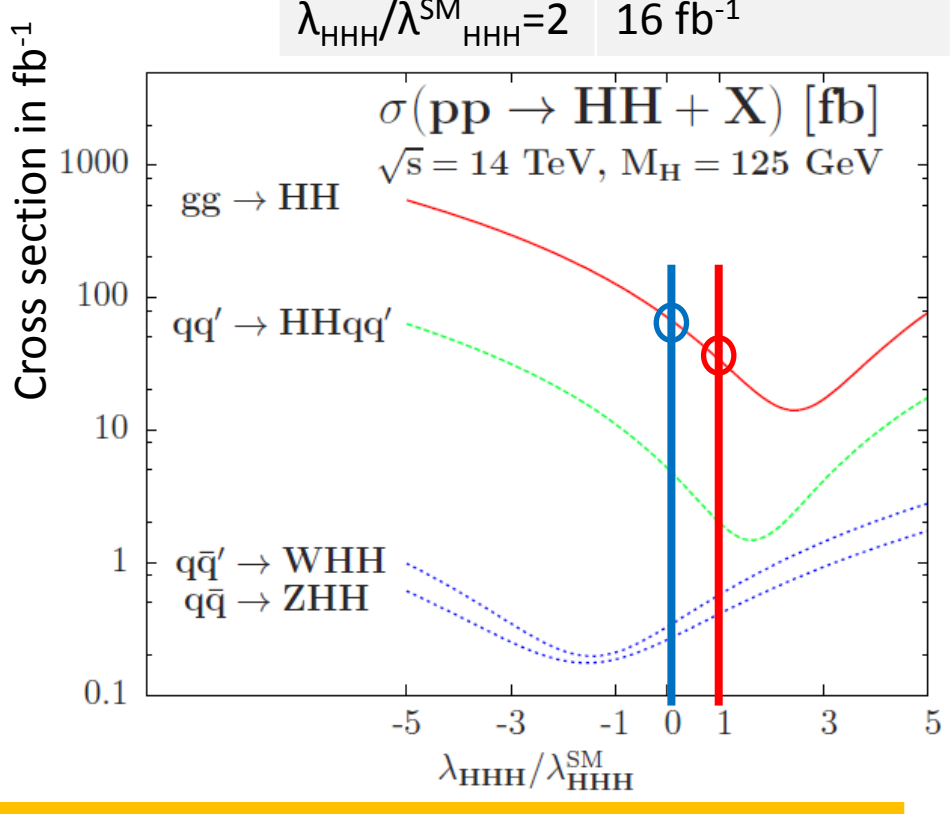
A. あります!

BoxとTriangleの間のinterferenceによってpp→HHの生成断面積が大きく変わる。

σ(HHH無)/σ(HHH有)~2







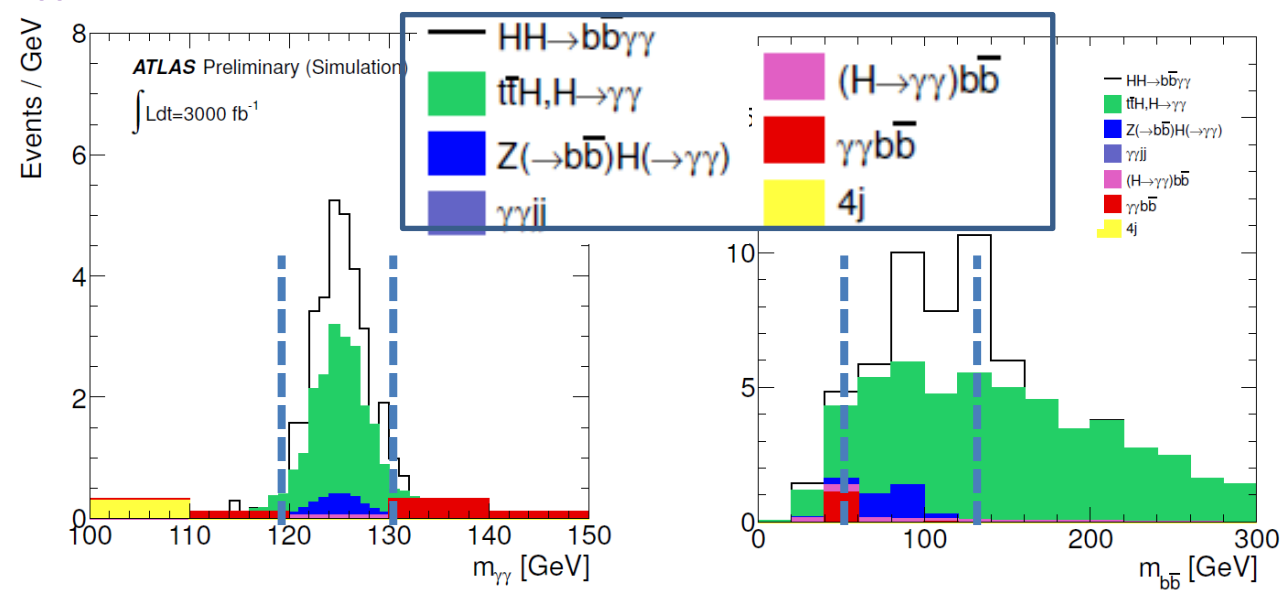
一つの例、HH→bbyy

- QCD,ttbar のバックグラウンドが比較的少ないであろうチャンネル。
- ・ カット後の信号数は10事象以上
 - 2つの光子 (P_T^γ>25GeV)
 - 2つのb-jet (P_Tb>40/25GeV)
 - 50<m_{bb}<130, 120<m_{vv}<130GeV

	Expected event in 3000 fb ⁻¹
$HH\rightarrow bb\gamma\gamma (\lambda_{HHH}/\lambda^{SM}_{HHH}=1)$	10.7
$HH\rightarrow bb\gamma\gamma (\lambda_{HHH}/\lambda^{SM}_{HHH}=0)$	17.9
$HH\rightarrow bb\gamma\gamma (\lambda_{HHH}/\lambda^{SM}_{HHH}=2)$	6.4

選択後のバックグラウンド

	events expected
sample	in 3000 fb ⁻¹
$\gamma \gamma bb$ $-$	1.1
$ZH(Z\to b\bar b, H\to \gamma\gamma)$	2.8 -10?
$b\overline{b}H(H \to \gamma\gamma)$	0.5
$\gamma \gamma j j$	0.1
jjjj	0
$t\bar{t}H(H \to \gamma\gamma)$	13.6
$t\bar{t} \ (\geq 1 \text{ leptonic W decay})$	1.1
Total Background	19.2 -26?



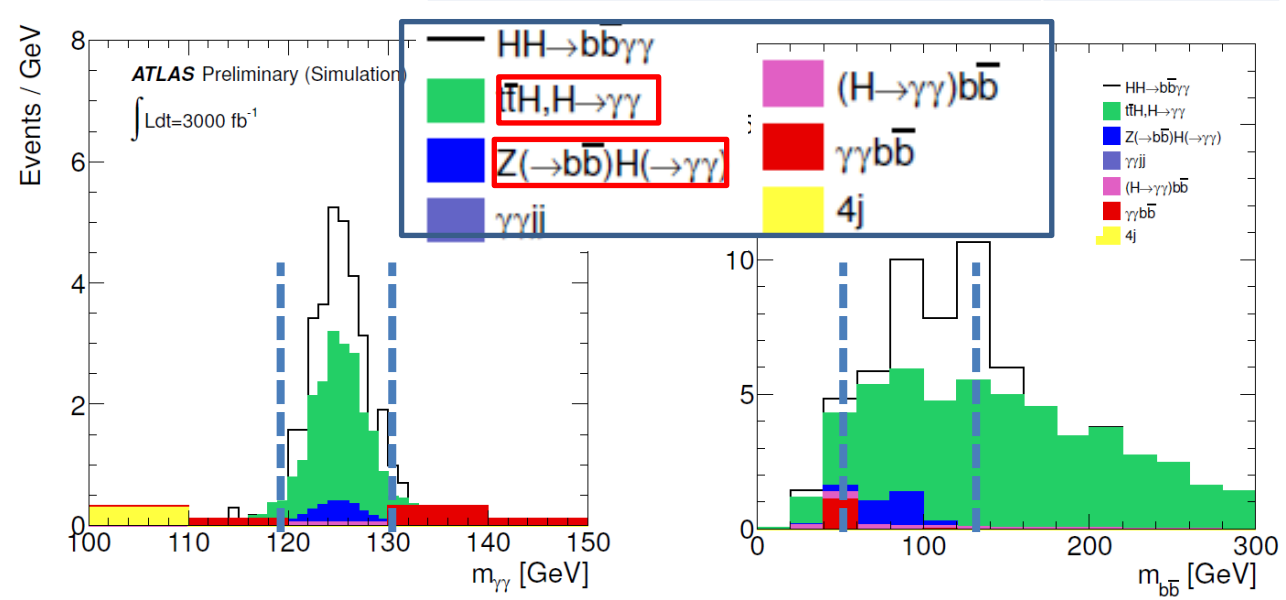
一つの例、HH→bbyy

- このセレクション後バックグラウンドはほぼヒッグス単一生成過程。
- 標準理論ヒッグス対生成を2.1-2.4σで観測→他のチャンネルを 加えて3σ?

	Expected event in 3000 fb ⁻¹
$HH\rightarrow bb\gamma\gamma (\lambda_{HHH}/\lambda^{SM}_{HHH}=1)$	10.7
$HH\rightarrow bb\gamma\gamma (\lambda_{HHH}/\lambda^{SM}_{HHH}=0)$	17.9
HH→bbγγ ($\lambda_{HHH}/\lambda^{SM}_{HHH}=2$)	6.4

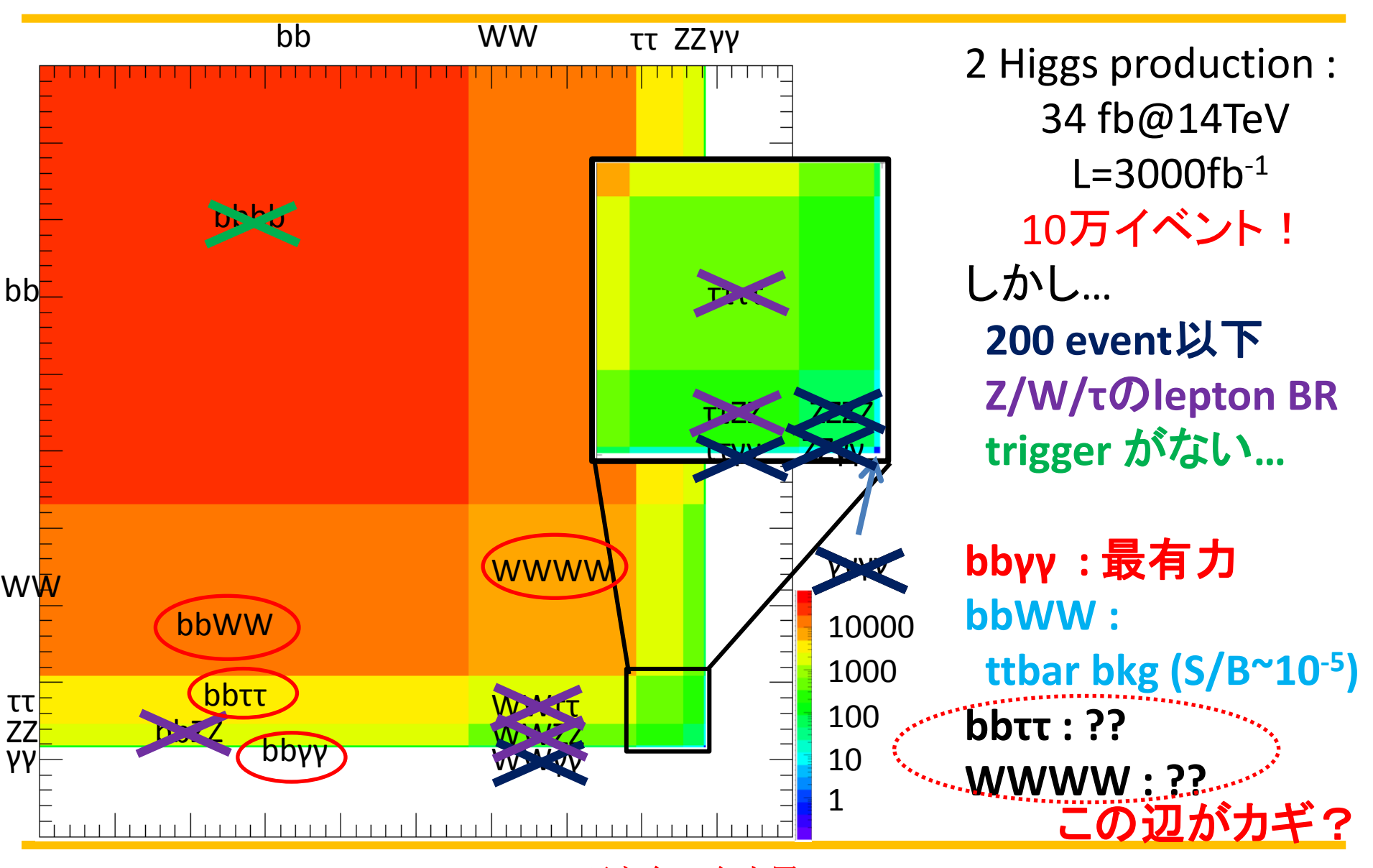
選択後のバックグラウンド

sample	events expected in 3000 fb ⁻¹
γγbb	1.1
$ZH(Z \to b\bar{b}, H \to \gamma\gamma)$	2.8 -10?
$b\overline{b}H(H \to \gamma\gamma)$	0.5
$\gamma \gamma j j$	0.1
jjjj	0
$t\bar{t}H(H \to \gamma\gamma)$	13.6
$tt (\geq 1 \text{ leptonic W decay})$	1.1
Total Background	19.2 -26?



→ 大体30%くらいでσ(HH)が測れる。→ λ_{HHH}/λSM_{HHH}=0を棄却(95%CL)

他のチャンネルの可能性



おまけ、HH->bbtt

- Promising?
 - 約7000事象以上存在@3000fb-1
 - 大きな損失運動量がないので質量再構成が可能。組み 合わせもひとつに決まる。
 - すべての過程が解析可。(bbτ_ιτ_h, bbτ_ιτ_ι, bbτ_hτ_h)
- 課題としては...
 - そもそもtriggerは大丈夫か? Lepton(+tau)+b?
 - トップクォークのバックグラウンドを落とすための努力。 MET?
 - そのほかにZH->bbττ(ττbb)ものぞくことのできないバックグラウンド
 - →ヒッグス粒子の質量分布に違いがでるか? 質量再構成のためのMET分解能。

まとめ

- ・ 発見から一年、すでに精密測定の時代
 - 質量、スピン測定はほぼ終了。
 - HWW, HZZ, H gg, H γγ の存在は確認(>3σ)
 - Yb, Yτは、少々お待ちください。
- 2015年以降のLHC->HL-LHCで可能な測定
 - Yb, Yτの確実な発見(<100fb⁻¹)
 - Yt, Yμの発見
 - 結合定数の精密測定
 - Yτ~10%, Yμ~10%, Yt~15% 程度 (改善の可能性あり)
 - Ybは、今後の系統誤差の研究しだい。
 - ヒッグス対生成の発見(~3σ)、自己結合の間接的な証明 (95%CL)

Backup

24th May, 2013

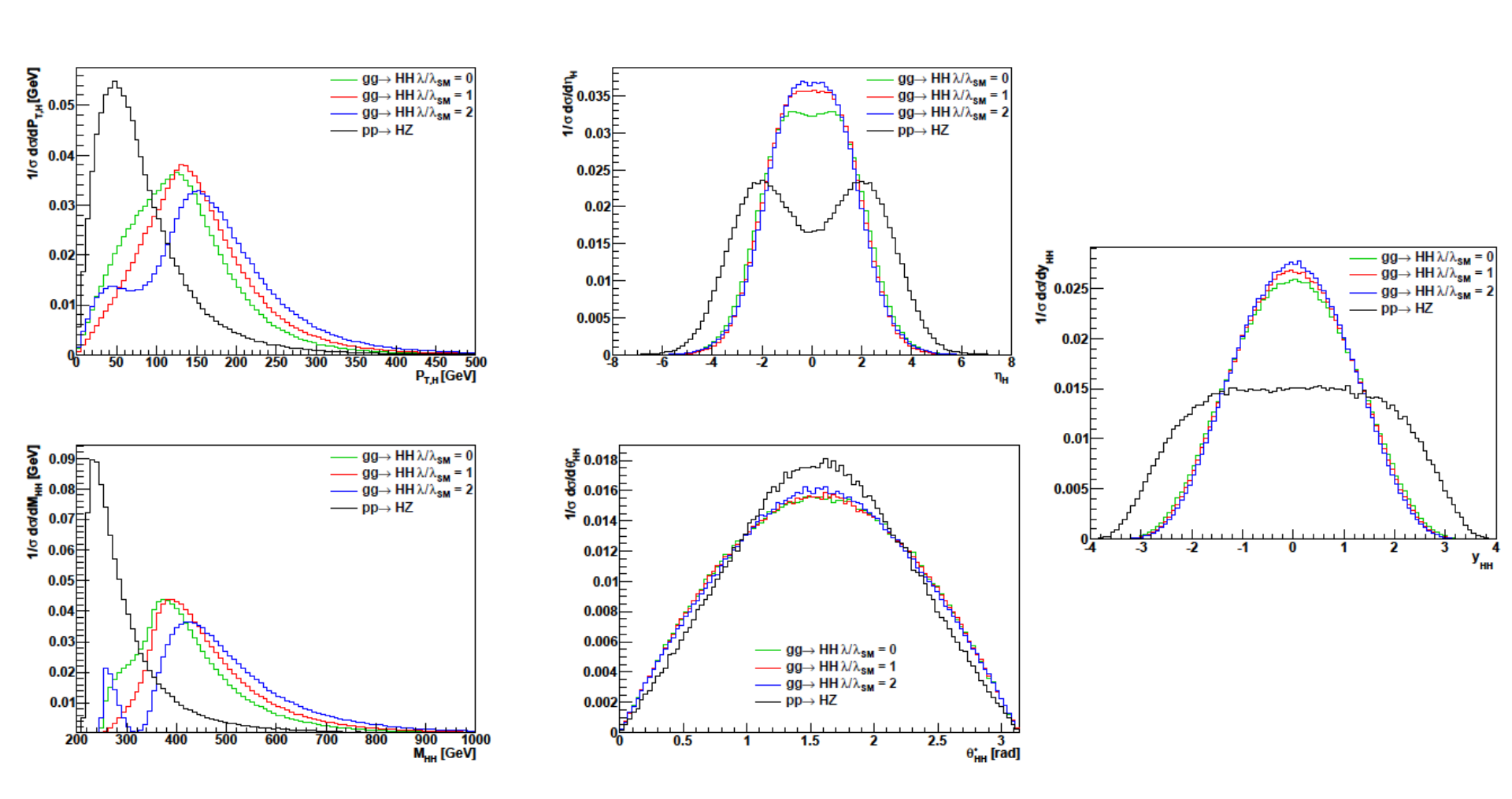
2x10³4 cm²s¹

L1 Item Rate with **Unique Rate** Offline pT **Predicted** Rate/kHz pileup (no pileup) EM28H 33 28.0 28.0 19.8 0.5 EM50 60 8.6 8.6 8.8 10.3 2EM15H 2x20 4.6 MU20 25 25.6 25.6 23.8 2MU11 2x13 4.3 6.6 3.8 EM15H_MU10 20.12 2.0 4.9 0.1 2EM8H_MU10 2x12,12 0.9 4.0 0.2 2.2 12,2x8 0.6 0.2 EM8H_2MU6 150 10.2 10.2 1.2 TAU60 2TAU30_TAU40 100,80 9.4 9.4 2.3 2.4 2TAU15I_3J15 2x40,50(jet) 8.7 14.3 8.3 2TAU15I_EM15H_3J15 40,20,50(jet) 4.9 0.0 TAU15I_MU10 4.6 1.9 40,15 7.4 TAU20I_XE40_3J15 50,90,50(jet) 2.5 1.3 0.1 4.9 J100 250 4.9 0.3 4J20 Nx60 1.6 2.9 0.2 J75_XE40 0.7 4.7 5.4 200.150 XE₆₀ 190 1.2 2.7 0.1 Others topo? ~5 0.0 5.0 90.0 100.0 **Totals**

3x10³4 cm²s¹

L1 Item	Offline pT	Predicted Rate/kHz	Rate with pileup	Unique Rate (no pileup)
EM50H	60	4.9	4.9	2.3
EM80	100	2.2	2.2	0.0
2EM20H	2x25	3.4	3.7	2.4
MU20 (eta<1.9)	25	32.3	32.3	30.1
2MU11	2x13	6.4	10.0	5.9
EM20H_MU10	25,12	1.9	5.0	0.7
2EM11H_MU10	2x15,12	0.7	2.5	0.2
EM11H_2MU6	15,2x6	0.7	2.4	0.2
TAU80	180	5.4	10.2	0.1
2TAU40	2x100	8.1	8.1	3.0
2TAU15I_3J20	2x45,60(jet)	8.8	13.5	3.8
2TAU15I_EM20H_3J20	40,25,60(jet)	3.4	4.6	0.0
TAU15I_MU15	40,20	3.0	4.8	0.9
TAU20I_XE40_3J20	50,90,60(jet)	1.4	4.1	0.1
J100	250	7.3	7.3	0.9
4J20	Nx60	2.4	4.6	0.6
J75_XE40	200,150	7.0	8.6	2.4
XE60	190	1.9	5.8	0.1
Others	topo?	~20	~12	20.0
Totals		90.0	100.0	

HH kinematics in different λ



他のチャンネルの可能性

